

信号交差点における発進モデルに関する基礎的研究

高島大学 工学部 正茂 工峰 丹羽 博' 加
日本備道 K.K. " 山口 審文
高島大学 大学院 学環 ○福田 和國

§1. はじめに

本研究は信号機により制御される道路網の交通流に関する一連の研究のうち、最も基礎的な研究の一つである。広域交通管理を行なうことは都市街路の交通混雑緩和策の一つとして有効であることは疑い余地はない。交通管理のためには従来的（車を1台毎に表現する）モデル、巨視的（車数台をまとめて表現する）モデルが研究されてきたが、巨視的モデルがよく用いられている。道路を数十歩のブロックに区切り、ブロックに入っている台数によって車を表示する。したがって距離はブロック長によって量子化され、各ブロック内で各々の車の平均速度を判定し、ブロック相互間で車を移動させる方法である。著者らは従来的・巨視的モデルの適用性について検討を加え、これまでの巨視的モデルを更に一段と精度の高いものにする必要があると考えている。また都市街路の交差点処理は大きな課題であり、信号制御の最適化のための基準として、停止回数、停止のための遅れ回数の最小、交差点容量の最大、待ち行列の最小化などが考えられている。これらの研究の基礎として交差点における交通流の特性を把握し、解析的な研究を行なうことは大切である。著者らはまず黄、赤信号によって交差点附近に停止し、待ち行列となして車の発進モデル（交差点流入モデル）について、観測結果とともに簡単な仮定を設け、従来的モデルを考えて、これまでの研究・観測結果と対比せることにより、非常によく合致することを判明したので、こゝに発表して批判や助言を仰ぐものである。

§2. 交差点流入状態観測

(1) 地図 広島市大手町広島バス大手町交差点、

交差点の平面図を図1に示す。

(2) 観測方法 35mm連続写真撮影(ニコンモータード

ライカF-250)粒を使用し、毎秒1コマ撮影

(3) 観測日時 44.12.17(木) 2:30~3:00pm, 12.19(金) 10:30~11:00 a.m.

12.20(土) 11:00~11:30 a.m., 12.29(木) 8:30~9:00 a.m.

図2. 全車線流入台数

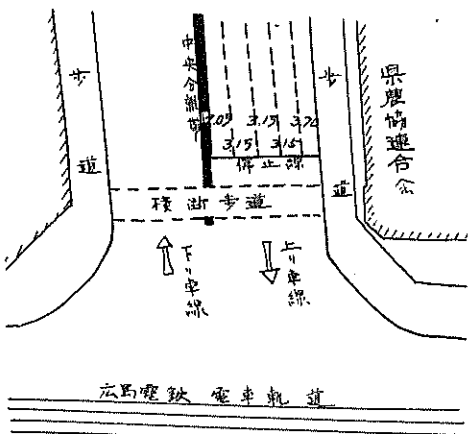
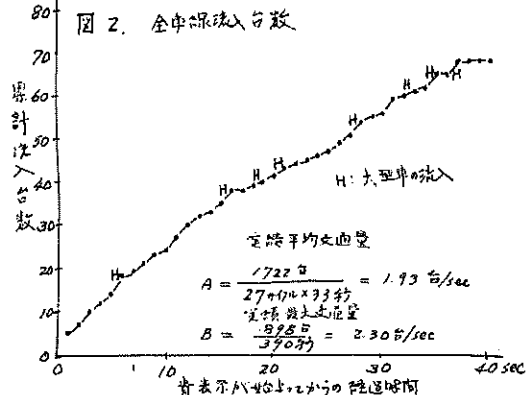


図1. 広島バス大手町交差点平面図

(4) 観測結果 図2に全車線流入台数(停止線を横切り交差点内に入る)と信号が青表示になつてからの時間の関係を示している。H印は大型車の流入を示し、大型車の流入によって明らかに勾配の変化がみられる。

5.3. 発進流入モデル

いま一車線に対して検討を加えよ。 n 台目の車は青表示直前には $(a+b)(n-1)$ の距離に停止していて、前車が始動して、反応時間 a やく遅れて加速度 α で発進し、停止線を横切るまでは等加速度運動と続けるものと仮定すれば、青表示になってから n 台目の車が停止線を通過するまでに要する時間 T_n は

$$T_n = t_0 + \sqrt{\frac{2(a+b)(n-1)}{\alpha}} \quad \dots \quad (1)$$

ここで t_0 は反応遅れ時間、 $a+b$ は停車時の車頭間隔、 α は発進加速度。 (1) 式の t_0 、 $a+b$ 、 α は乗用車、大型車（トラック・バス）によって異なる値をもつ。観測値を

用いて最小二乗法により乗用車、大型車のみの場合について、それぞれ

$$T_{p,n}(\text{乗用車}) = 1.407n + 1.686\sqrt{n-1} \quad \dots \quad (2) \quad \therefore a+b = 5^m, \alpha = 1.137 \text{ m/sec}^2$$

$$T_{p,T_n}(\text{大型車}) = 3.468n + 2.113\sqrt{n-1} \quad \dots \quad (3) \quad \therefore a+b = 9^m, \alpha = 1.008 \text{ m/sec}^2$$

が与えられ、図4に観測値とよく一致することが示されている。また車頭時間間隔は(1)式から、 n 台と $(n-1)$ 台の間隔は

$$\Delta T_n = t_0 + \sqrt{\frac{2(a+b)}{\alpha}} \left\{ \sqrt{n-1} - \sqrt{n-2} \right\} \quad \dots \quad (4)$$

$$\text{観測から } \Delta T_{p,n} = 1.407 + 1.686(\sqrt{n-1} - \sqrt{n-2}), \Delta T_{p,T_n} = 3.468 + 2.113(\sqrt{n-1} - \sqrt{n-2})$$

となり、図5に実線で示した。観測値とよく一致している。

また大型車の支差車流入の普通乗用車換算当量は(2)と(3)式から容易に求められ、図6の実線で示される。観測値とは多少型別でいい。計算値は最大値を示すものであるにも拘らず 0 当量～1 当量までは観測値が大きくなっているが、右折車線や混雑時には 6 車線（平面区分ではなく車線）に利用されるなどとの影響であろう。图7に支差車流入部と支差車間の交通流特性的 1 つの例示として 2 案における 10 秒間の通過台数の頻度分布を示した。これからもこのまで述べて来た特性がうかがえる。

5.4. むすび

本發表では支差車区间への微視的流入モデルを提案し、これまで発表されていき支差車流入特性がこのモデルによつてよく説明ができるなど、大型車当量についても理論的に示すことができ（直進車に対する）ことを明らかにしたが、今後はその後の車の動きに着目して微視的モデルから信号制御に便利な巨視的モデルの提案に進む予定である。その後に最適化の評価基準についても検討してゆきたいと考えている。

参考文献・越正毅他：信号支差車の交通容量。・未公表。元判：交通工学。・H.C.M. 1969 年 1 月号。
・内山：支差車の本拠車に関する一考察。
・高田、栗本：道路交通における大型車の換算係数について。計測自動制御学会誌第 10 号第 3 号（1969 年 3 月）。

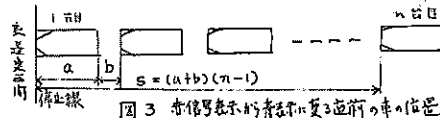


図 3 青信号表示が青表示直前の車の位置

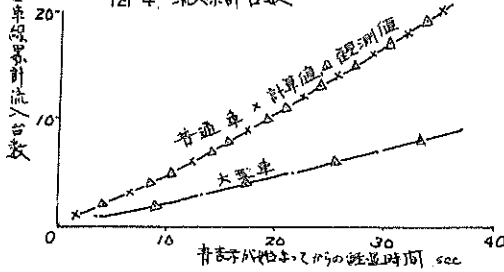


図 4. 流入累計台数

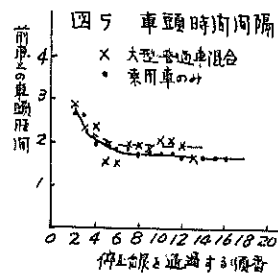


図 5. 車頭時間間隔

図 6. 大型車当量

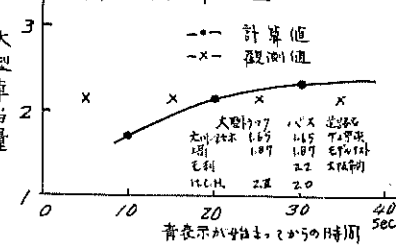


図 7. 10秒間通過台数

